

مطالعه خواص الکترونیکی و دینامیکی بلور لانتانیم کباتایت با ساختار پروسکایت

ملوندی، بهاره^۲؛ حسینی، سید محمد^۱؛ باعدی، جواد^۲

^۱گروه فیزیک (آزمایشگاه مواد و الکتروسرامیک) دانشگاه فردوسی مشهد

^۲گروه فیزیک، دانشگاه تربیت معلم سبزوار

چکیده

خواص الکترونیکی شامل چگالی حالات و ساختار نواری بلور لانتانیم کباتایت ($LaCoO_3$) با ساختار پروسکایت در فاز مکعبی با استفاده از اصول اولیه مورد بررسی قرار گرفته است. خواص دینامیکی مورد مطالعه عبارت از: بسامدهای فونونی، بار مؤثر بورن، ثابت دی‌الکتریک که این محاسبات با تقریب LDA انجام گرفته است. نتایج ساختار نواری و بار مؤثر نشان می‌دهد که این ماده دارای خواص فلزی است و تقریباً یک بلور یونی است. تانسور دی‌الکتریک یکرند (*isotropic*) و قطری است و مقدار ثابت دی‌الکتریک در حدود ۴۶ تعیین گردید.

Electronic and Dynamical Properties of $LaCoO_3$ Perovskite Crystal

Malvandi, Bahareh²; Hosseini, Seyed Mohammad¹; Baedi Javad²

¹Department of Physics (Material and Electroceramic Laboratory), Ferdowsi University of Mashhad

²Department of Physics, Tarbiat Moallem University of Sabzevar

Abstract

The Electronic and dynamical properties of $LaCoO_3$ crystal in cubic phase with perovskite structure have been studied. The electronic properties including density of states and band structure have been calculated and the results show that crystal has metallic properties. We have calculated the dynamical properties such as Born effective charge tensor, the phonon frequency at the centre of the Brillion zone and dielectric tensor using local density approximation with ABINIT code.

PACS No.62

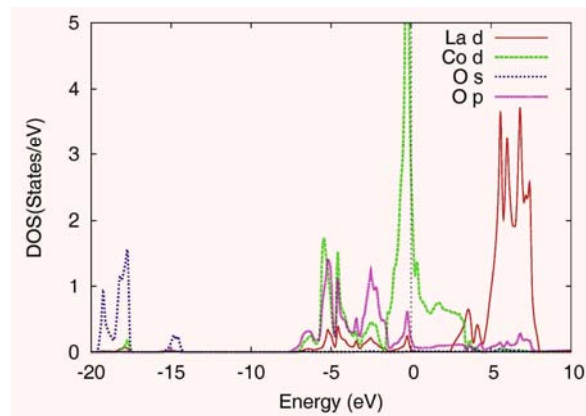
کاتدی در سلول‌های سوخت اکسید جامد به عنوان غشاء نفوذپذیر اکسیژن استفاده می‌شود. درکاتالیزورهای فعال برای اکسید کردن Co در دماهای بالا (>1700) که دارای ساختار مکعبی است نیز بکار می‌رود. با کاهش دما با توجه به اندازه کوچک یون La CoO_6 اکتاهدرال خواهد چرخید و تبدیل به ساختار رومبوهدرال می‌شود. ساختار رومبوهدرال تا 1250K پایدار است. از طرف دیگر بلور $LaCoO_3$ یک رفتار فروالاستیک با توجه به انتقال در طول سرد کردن از فاز تقارن بالای پارالاستیک (گروه فضایی $Pm\bar{3}m$) به فاز تقارن پایین پارالاستیک (گروه فضایی $R\bar{3}C$) دارد [۲]. بلور $LaCoO_3$ یک گذار فاز از ساختار

مقدمه

عبارت «فرو الاستیسیته» اولین بار توسط ایزو برای بلورهای که رفتار هیستریزیس فشار-کشش از خود نشان می‌دهند استفاده شد که به وسیله کرنش خود به خودی و تنش وادارنده مشخص می‌شود. در حالی که بلورهای به اصطلاح پارالاستیک یک رفتار فشار-تنش خطی بدون منحنی هیستریزیس نشان می‌دهند [۱].

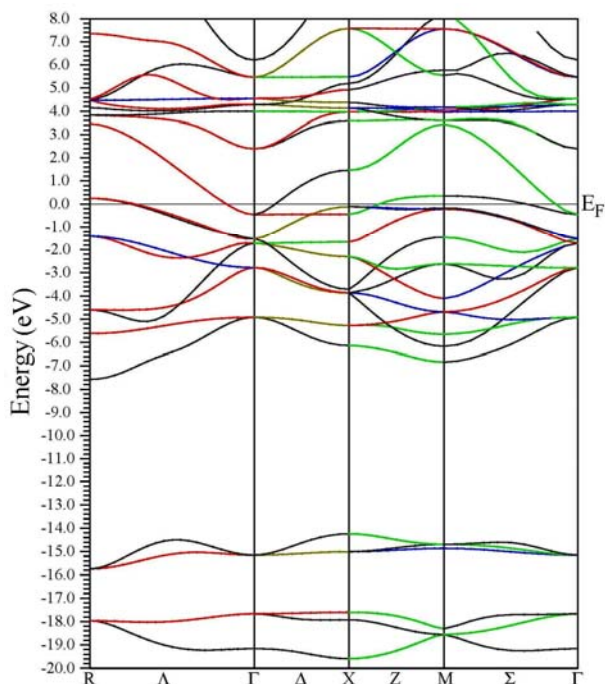
بلور کباتایت با فرمول کلی RCO_3 (که R یک یون خاکی کمیاب است) دارای ساختار پروسکایت گونه است. این ترکیبات از لحاظ صنعتی توجه زیادی را به خود جلب کرده‌اند. به دلیل رسانایی الکتریکی بالا و رسانایی یونی (Co^{2-}) از آن به عنوان مواد

تا $+0.5\text{eV}$ قرار دارد. اربیتالهای La-5d^1 در بالای نوار هدایت ظاهر شده و تقریباً نسبت به سایر اربیتالها نیز جایگزیده است.



شکل ۲: چگالی حالات جزئی برای اتمهای La، Co و O در بلور LaCoO_3

ساختار نواری- ساختار نواری بلور LaCoO_3 در فاز مکعبی در شکل ۳ آورده شده است. مبدا انرژی صفر منطبق با بیشینه نوار ظرفیت انتخاب شده است. مقیاس انرژی بر حسب الکترون ولت (eV) می باشد. این ساختار نواری در جهت تقارنهای بلور در منطقه اول بریلوئن رسم شده است.



شکل ۳: ساختار نواری بلور LaCoO_3 با فاز مکعبی در جهت های تقارن بلور.

پروسکایت رومبوهدرال به ساختار پروسکایت مکعبی را در دما $T=1340^\circ$ متحمل می شود. [۳]

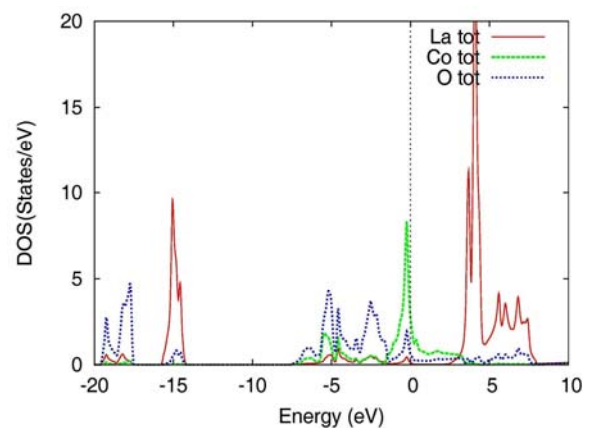
روش محاسبه

در محاسبات این مقاله از کد محاسباتی ABINIT استفاده شده است. این کد بر مبنای محاسبات اصول اولیه و به کمک روش های شبه پتانسیلی و استفاده از امواج تخت در چارچوب نظریه ی تابعی چگالی استوار است. توابع موج را بر حسب امواج تخت تا انرژی قطع 40Ha بسط داده ایم ($1\text{Ha}=27,11\text{eV}$). انتگرال ها را روی منطقه بریلوئن با یک جمع روی شبکه $4 \times 4 \times 4$ از نقاط k جایگزین کرده ایم. حالت های $3d^7$ و $4s^2$ اتم کبالت و $5d^1$ و $4s^2$ اتم لانتانیم و $2p^4$ و $2s^2$ اتم اکسیژن به عنوان حالت های ظرفیت در نظر گرفته شده اند. از شبه پتانسیل نرم پایسته ترولیر- مارتینز استفاده کرده ایم.

نتایج محاسبات

چگالی حالات- طیف چگالی حالات برای اتمهای

La، Co و O در فاز مکعبی برای بلور LaCoO_3 در گستره 20eV تا 10eV در شکل ۱ رسم شده است. گاف بین نوار ظرفیت و نوار هدایت تقریباً صفر است که نشان دهنده خاصیت فلزی این بلور در فاز مکعبی است.



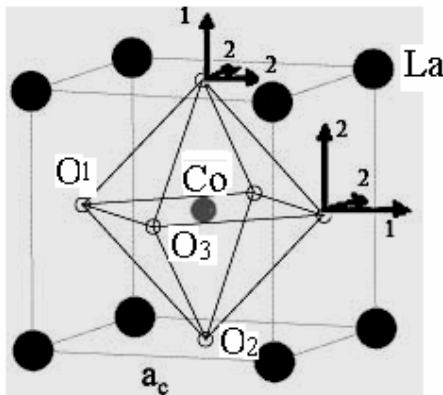
شکل ۱: چگالی حالات کل برای اتمهای La، Co و O در بلور LaCoO_3

چگالی حالات جزئی برای هر اتم نیز در شکل ۲ رسم شده است. اربیتالهای جایگزیده $\text{Co-}3d^7$ نقش مهمی در خواص الکترونیکی این بلور دارد. این اربیتال در گستره انرژی بین -5eV

$$\bar{Z}_\alpha^m = \sum_{k\beta} Z_{k,\alpha,\beta}^* U_{m,q=0}(\alpha\beta) \quad (2)$$

که در آن m مد مورد بررسی است و $U_{m,q=0}$ بردار ویژه فونونی و α و β مختصات کارتیزین و k اندیس اتمها است.

برای بلورهای پروسکایت ABO_3 در فاز مکعبی اتم‌های فلزی A و B در مراکز تقارن بلور قرار گرفته‌اند شکل ۴. این بلور دارای تانسورهای بار مؤثر بورن همسانگرد هستند و اتم‌های اکسیژن در مراکز وجوه قرار گرفته‌اند و بنابراین دارای دو جهت موازی و عمود بر هر یک از وجوه مکعب هستند که با نشانه‌های ۱ و ۲ و علامت‌گذاری شده‌اند، در هر سلول واحد یک اتم لانتانیم و یک اتم کبالت و سه اتم اکسیژن وجود دارد [۶].



شکل ۴: ساختار بلور پروسکایت ABO_3 در فاز مکعبی، بردارهای کوچک نمایان‌گر دو جهت برای اتم اکسیژن هستند [۷]

نتایج محاسبات برای بار مؤثر در جدول ۳ نشان داده شده است.

جدول ۳: بار مؤثر بورن برای بلور $LaCoO_3$ در فاز مکعبی.

	La	Co	O ₁	O ₂	O ₃
xx	۴,۱۴	۷,۲۹	-۲,۳۶	-۲,۳۵	-۶,۷۱
xy	-۰,۰۱	-۰,۲۱	۰,۱۱	۰,۰۶	۰,۰۱
xz	-۰,۰۱	-۰,۱۸	۰,۰۴	۰,۱۱	۰,۰۱
yx	۰,۰۰	۰,۰۰	۰,۰۰	۰,۰۰	۰,۰۰
yy	۴,۱۴	۷,۲۹	-۲,۳۶	-۶,۷۱	-۲,۳۵
yz	۰,۰۰	۰,۰۰	۰,۰۰	۰,۰۰	۰,۰۰
zx	۰,۰۰	۰,۰۰	۰,۰۰	۰,۰۰	۰,۰۰
zy	۰,۰۰	۰,۰۰	۰,۰۰	۰,۰۰	۰,۰۰
zz	۴,۱۴	۷,۲۹	-۶,۷۱	-۲,۳۶	-۲,۳۶

بسامدهای فونونی - برای فاز مکعبی لانتانیم کبالتایت ۳ مد صوتی و ۱۲ مد اپتیکی وجود دارد که در نمایش کاهش‌ناپذیر مدهای اپتیکی به صورت $3T_{1u} + T_{2u}$ نشان داده می‌شوند. مدهای T_{1u} فروسرخ فعال و مد T_{2u} مد خاموش است. نیروهای بلندبرد الکترواستاتیک، تبهگنی دوگانه $T_{1u}(TO)$ (قطبش عمود بر راستای انتشار) و تک مد $T_{1u}(LO)$ (قطبش در راستای انتشار) می‌شکافند. به طور کلی بر مبنای نظریه‌ی گروه استاندارد در مرکز ناحیه‌ی ریلوئن برای فاز مکعبی لانتانیم کبالتایت داریم:

$$\Gamma_{vib} = 3T_{1u} + T_{2u} \quad (1)$$

که یک T_{1u} اضافی نمایان‌گر مد اپتیکی با تبهگنی سه‌گانه است [۴]. نتایج محاسبات برای بسامدهای فونونهای بلور $LaCoO_3$ در فاز مکعبی در جدول ۱ نشان داده است. این بلور دارای سه شاخه صوتی و ۱۲ شاخه اپتیکی است. برای مقایسه این نتایج با دیگران مرجعی برای بسامدهای فونونی پیدا نشد.

جدول ۱: بسامدهای فونونی بلور $LaCoO_3$ در نزدیکی نقطه Γ

صوتی (cm^{-1})	اپتیکی (cm^{-1})			
۳۳,۸۶(TO)	(TO)	(TO)	(LO)	(TO)
	۲۴۴,۵۶	۲۴۴,۵۶	۲۴۵,۲۷	۲۴۶,۸۶
۳۳,۸۶(TO)	(TO)	(LO)	(TO)	(TO)
	۲۴۶,۸۶	۳۳۴,۲۰	۴۳۸,۹۹	۴۳۸,۹۹
۶۸,۹۰(LO)	(LO)	(TO)	(TO)	(LO)
	۴۳۹,۴۱	۶۲۱,۰۹	۶۲۱,۰۹	۶۲۲,۶۱

تانسور دی الکتریک - تانسور دی الکتریک برای بلور $LaCoO_3$ در فاز مکعبی به دلیل تقارن قطری است و نتایج محاسبات به صورت زیر است:

$$\epsilon = \begin{pmatrix} 48.26 & 0 & 0 \\ 0 & 48.26 & 0 \\ 0 & 0 & 48.26 \end{pmatrix}$$

تانسور بار مؤثر بورن - کم و زیاد شدن فاصله بین صفحات بار در فونونهای اپتیکی بلور منجر به ایجاد نیرویی اضافی و در نتیجه آن ایجاد میدان الکتریکی بین صفحات می‌شود. این جفت‌شدگی بین میدان الکتریکی و فونونهای اپتیکی را به عنوان تانسور بار مؤثر بورن می‌شناسیم و با رابطه (۲) تعریف می‌شود [۵].

عناصر قطری تانسور بار مؤثر بورن تقریباً برای تمام اتمها متقارن است. سایر عناصر تانسور تقریباً ناچیز است. این تقارن بارها نشان می دهد که این بلور تقریباً دارای پیوندهای یونی می باشد.

مرجع ها

- [1] N. Orlovskaya N. Browning and A. Nicholls, " Ferroelasticity in mixed conducting LaCoO_3 based perovskites: a ferroelastic phase transition", *Acta Materialia* Vol. **51** (2003) 5063–5071.
- [2] G Maris, " Structural Transitions Induced by Charge and Orbital Ordering in Transition Metal Oxides" Ph.D.-thesis, University of Groningen (2004).
- [3] D. Fuchs, L. Dieterle, E. Arac, R. Eder, P. Adelman, V. Eyert, T. Kopp, R. Schneider, D. Gerthsen, and H. V. Löhneysen, "Suppression of the ferromagnetic state in LaCoO_3 films by rhombohedral distortion" *Phys. Rev. B* **79**, (2009) 024424-9.
- [۴] G. Burns and B. A. Scott, " Lattice Modes in Ferroelectric Perovskite: PbTiO_3 ", *Phys. Rev. B*, Vol. **7**, (1973) 3088-3103.
- [۵] Ph. Ghosez, J.-P. Michenaud and X. Gonze, "Dynamical atomic charges: The case of ABO_3 compounds" , *Phys. Rev. B* **58**, (1998) 6224-6240.
- [۶]- R. J. Radwaski and Z. Ropka, "Magnetism and electronic structure of LaMnO_3 and LaCoO_3 " *Physica B: Condensed Matter* Vol. **281-282**, (2000) 507-509.
- [۷] W. Zhong, R. D. King-Smith, and David Vanderbilt, "Giant LO-TO Splittings in Perovskite Ferroelectrics", *Phy. Rev. Lett.* **72**, (1994) 3618–3621